

К ОЦЕНКЕ ВИБРОАКТИВНОСТИ МЕХАНИЗМОВ С НЕУРАВНОВЕШЕННЫМИ ВРАЩАЮЩИМИСЯ ЧАСТЯМИ

К. К. ГЛУХАРЕВ, В. И. ЛУЦЕНКО, Д. Е. РОЗЕНБЕРГ,
К. В. ФРОЛОВ

(Москва)

Рассматривается задача оценки виброактивности машины или механизма с неуровнешенным вращающимся ротором при получении ограниченной (неполной) информации о движениях изучаемой системы из эксперимента с использованием идей В. О. Кононенко. С этой целью изучается механизм возбуждения колебаний в подобных системах и спектральный состав инерционного возбуждения. Оценки виброактивности систем с неуровнешенным ротором осуществляются с использованием процедур метода динамических испытаний [1-3] по результатам простейших диагностических экспериментов. Приводятся численные примеры, для которых даются количественные оценки виброактивности.

1. Механизм возбуждения колебаний в системе с неуровнешенным вращающимся ротором. Уравнения движения простейшей системы с неуровнешенным вращающимся ротором (фиг. 1) имеют вид [4]:

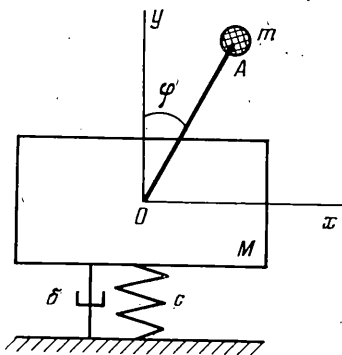
$$\begin{aligned} (M+m)y'' + \delta y' + cy = mr(-\cos \varphi)'' &= mr(\varphi'^2 \cos \varphi + \varphi'' \sin \varphi) \\ mr^2 \varphi'' + H(\varphi) = L(\varphi) + mgy'' \sin \varphi + mgr \sin \varphi \end{aligned} \quad (1.1)$$

Уравнения (1.1) весьма точно описывают все явления (как качественно, так и количественно), связанные с взаимодействием массы M и неуровнешенного вращающегося ротора с моментом инерции $J = mr^2$, причем первое из уравнений (1.1) описывает вынужденные вертикальные колебания всей массы $M+m$ под действием внешней инерционной силы

$$mr(-\cos \varphi)'' = mr(\varphi'^2 \cos \varphi + \varphi'' \sin \varphi) \quad (1.2)$$

а второе уравнение — состояние «динамического равновесия» моментов, действующих на вращающийся ротор. Отметим также, что функции H и L в подавляющем большинстве случаев задают графически, получая эти зависимости экспериментально, т. е. здесь предъявляются весьма высокие требования к точности измерения движущего момента, момента сил сопротивления и соответствующих мгновенных значений скорости вращения φ' .

Рассмотрим спектр силы (1.2), вызывающей вертикальные колебания системы, предполагая, что $\varphi(t) = pt + \alpha \sin \Omega t$, т. е. $\varphi'(t) = p + \alpha \Omega \cos \Omega t$.



Фиг. 1

¹ Случай $\varphi'(t) = p = \text{const}$ является идеальным и практически неосуществимым в реальных механизмах. Отметим, что только в этом единственном случае ротор вращается с постоянной угловой скоростью и возбуждение (1.2) является гармоническим.

Рассматриваемый, вообще говоря, простейший случай изменения скорости вращения неуравновешенного ротора определяет внешнее возбуждение (1.2) чрезвычайно сложного вида. Покажем это.

Для удобства дальнейших выкладок предварительно рассмотрим функцию $\cos \varphi$, получающуюся после двукратного интегрирования функции $(-\cos \varphi)$

$$\cos \varphi = \cos(pt + \alpha \sin \Omega t) = \cos pt \cos(\alpha \sin \Omega t) - \sin pt \sin(\alpha \sin \Omega t)$$

Используя известные из теории рядов Фурье разложения, получим

$$\begin{aligned} \cos \varphi(t) = & J_0(\alpha) \cos pt + J_1(\alpha) (\cos(p + \Omega)t - \cos(p - \Omega)t) + \\ & + J_2(\alpha) (\cos(p + 2\Omega)t + \cos(p - 2\Omega)t) + J_3(\alpha) (\cos(p + 3\Omega)t - \\ & - \cos(p - 3\Omega)t) + \dots \end{aligned}$$

Окончательно, выражение для внешнего возбуждения (1.2) в этом случае будет иметь вид

$$\begin{aligned} mr(\ddot{\varphi} \cos \varphi + \dot{\varphi} \sin \varphi) = & mr [J_0(\alpha) p^2 \cos pt + J_1(\alpha) (p + \Omega)^2 \cos(p + \Omega)t - \\ & - J_1(\alpha) (p - \Omega)^2 \cos(p - \Omega)t + J_2(\alpha) (p + 2\Omega)^2 \cos(p + 2\Omega)t + \\ & + J_2(\alpha) (p - 2\Omega)^2 \cos(p - 2\Omega)t + J_3(\alpha) (p + 3\Omega)^2 \cos(p + 3\Omega)t - \\ & - J_3(\alpha) (p - 3\Omega)^2 \cos(p - 3\Omega)t + \dots] \end{aligned}$$

т. е. внешнее возбуждение массы M содержит гармоники с частотами $p \pm n\Omega$ и амплитудами $J_n(\alpha) (p \pm n\Omega)^2$. Здесь $J_n(\alpha)$ — функции Бесселя целого порядка n .

Полученное разложение (1.3) дает весьма сложную форму спектра сигнала. В реальных системах скорость вращения неуравновешенного ротора изменяется по более сложному закону, что приводит к еще более сложной картине амплитудно-частотной модуляции.

2. Виброактивность неуравновешенного ротора и зависимость ее от отдельных параметров системы. В дальнейшем будем рассматривать системы с точки зрения их виброактивности. Понятие виброактивности было введено в [5]. Здесь это понятие несколько видоизменим, понимая под виброактивностью величину внешнего воздействия (инерционной силы), вызванного вращением неуравновешенного ротора.

Виброактивность неуравновешенного ротора будем оценивать по следующим динамическим характеристикам:

$$A = mr \sqrt{(\ddot{\varphi} \cos \varphi)^2 + (\dot{\varphi} \sin \varphi)^2}, \quad A_+ = \max_t A, \quad A^\circ = \frac{1}{T} \int A dt$$

$$S_1 = mr \int_T (\ddot{\varphi} \sin \varphi + \dot{\varphi} \cos \varphi)^2 dt, \quad S_2 = \frac{S_1}{T}$$

где A — амплитудное значение инерционной силы, A_+ — максимально возможное значение амплитуды инерционной силы, A° — среднее (среднеинтегральное) значение амплитуды, S_1 и S_2 — энергетические характеристики инерционной силы.

К приведенным характеристикам виброактивности можно также присоединить спектральные характеристики инерционной силы, которые могут быть достаточно сложными.

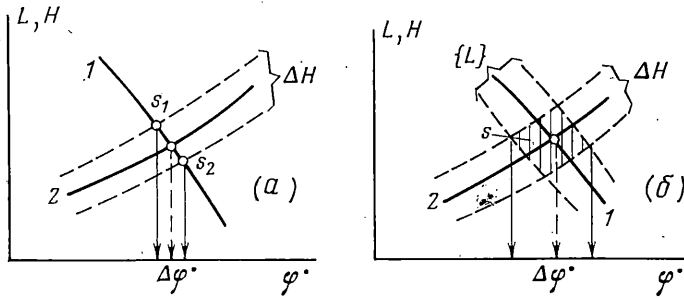
Проанализируем влияние отдельных параметров системы на ее виброактивность. Такие параметры неуравновешенного ротора, как эксцентриситет r и масса m дебаланса, определяют амплитудное значение инерционной силы, вызванной вращением неуравновешенного ротора, причем известными средствами балансировки величину r

можно сделать достаточно малой (это, в свою очередь, приводит к уменьшению амплитуды внешнего воздействия).

Рассмотрим далее влияние характеристик источника энергии на виброактивность системы. Предварительно остановимся на случае стационарного движения в предположении, что $r=0$. Очевидно, что при этом масса не совершает движений, а ротор будет вращаться с постоянной угловой скоростью φ^* , определяемой из уравнения

$$H(\varphi^*) - L(\varphi^*) = 0 \tag{2.1}$$

Геометрически стационарный режим движения ротора (корень уравнения (2.1)) определяется точкой пересечения графиков L (кривая 1) и H (кривая 2) на фиг. 2, а.



Фиг. 2

В случае же неуравновешенного ротора ($r \neq 0$) колебания массы M оказывают обратное влияние на движение ротора, что проявляется в неравномерном характере его вращения. В результате стационарное уравнение (2.1) динамического равновесия моментов, действующих на ротор, превращается в нестационарное

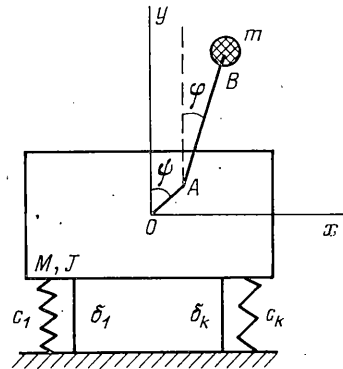
$$H(\varphi^*) + \Delta H(t) - L(\varphi^*) = 0$$

$$\Delta H(t) = mr^2 \varphi^{*2} - mry^* \sin \varphi - mgr \sin \varphi$$

где $\Delta H(t)$ — дополнительная «нестационарная» составляющая нагрузочного момента. При этом скорость вращения ротора приобретает колебательный характер, а движение ротора осуществляется так, чтобы сохранялось динамическое равновесие моментов, действующих на ротор.

Следует отметить, что в этом случае степень (глубина) модуляции скорости вращения ротора определяется множеством возможных мгновенных положений динамического равновесия вращающегося ротора (отрезок $s_1 s_2$ на фиг. 2, а). Если предположить далее, что функция L зависит не только от скорости вращения ротора, но и от угла поворота $\varphi(t)$, то множество мгновенных положений динамического равновесия моментов образует уже некоторую связную область s (фиг. 2, б), причем глубина модуляции скорости вращения будет определяться теперь проекцией множества s на ось $\varphi^*(L(\varphi^*, t) \in \{L\})$.

Таким образом, глубина модуляции угловой скорости вращающегося ротора, а следовательно и виброактивность, зависит от крутизны характеристики движущего момента, причем с увеличением крутизны этой характеристики глубина модуляции уменьшается, что приводит к уменьшению составляющей неравномерности вращения ротора.



Фиг. 3

3. Оценка виброактивности механизма с неуравновешенными вращающимися частями из простейших экспериментов. Прежде чем перейти непосредственно к обсуждению оценок виброактивности, заметим, что для реальных механизмов схема, представленная на фиг. 3, лучше описывает движения системы, чем схема, приведенная на фиг. 1. Соответствующие

уравнения движения имеют вид [6]:

$$\begin{aligned}
 (M+m)y'' + \sum_{i=1}^k \delta_i \Delta_i \cdot \frac{\partial \Delta_i}{\partial y} + \sum_{i=1}^k c_i \Delta_i \frac{\partial \Delta_i}{\partial y} - \\
 - me(\psi'' \sin \psi + \psi'^2 \cos \psi) = mr(\varphi'' \sin \varphi + \varphi'^2 \cos \varphi) \\
 (M+m)x'' + \sum_{i=1}^k \delta_i \Delta_i \cdot \frac{\partial \Delta_i}{\partial x} + \sum_{i=1}^k c_i \Delta_i \frac{\partial \Delta_i}{\partial x} - \\
 - me(\psi'' \cos \psi + \psi'^2 \sin \psi) = mr(\varphi'' \sin \varphi - \varphi'^2 \cos \varphi) \\
 (J+me^2)\psi'' + \sum_{i=1}^k \delta_i \Delta_i \cdot \frac{\partial \Delta_i}{\partial \psi} + \sum_{i=1}^k c_i \Delta_i \frac{\partial \Delta_i}{\partial \psi} + \\
 + mge \sin \psi - mex'' \sin \psi + mey'' \cos \psi = mer(\varphi'^2 \sin(\varphi - \psi) - \varphi'' \cos(\varphi - \psi)) \\
 mr^2\varphi'' + H(\varphi', \varphi) = L(\varphi', \varphi) + mr\dot{x}'' \sin \varphi - mry'' \cos \varphi + \\
 + mgr \sin \varphi - mer(\psi'' \cos(\varphi - \psi) + \psi'^2 \sin(\varphi - \psi)) \quad (3.1)
 \end{aligned}$$

Обобщая уравнения (3.1) на случай группы механизмов, установленных на одном общем фундаменте или основании, получим

$$\begin{aligned}
 y_i'' + R_y(\Delta_i, \Delta_i') + Q_i(z, z', z'') = f_i(\varphi_i, \varphi_i', \varphi_i'') \\
 x_i'' + R_x[(\Delta_i, \Delta_i'), z, z', z'', \varphi_i, \varphi_i', \varphi_i''] = 0 \\
 \varphi_i'' + K_\varphi[(\Delta_i, \Delta_i'), z, z', z'', \varphi_i, \varphi_i', \varphi_i''] = 0 \quad (3.2)
 \end{aligned}$$

где $z = (y, x)$, y_i — вертикальные координаты движения соответствующих элементов системы; R_{y_i} — реакции связей, в основном определяющие силу в вертикальном направлении; Q_i — реакции (обычно малые), вызванные сложным характером движения системы и взаимным влиянием движений по различным обобщенным координатам; f_i — функции, характеризующие виброактивность неуравновешенных вращающихся частей агрегатов. Второе и третье уравнения описывают соответственно горизонтальные и угловые движения элементов системы.

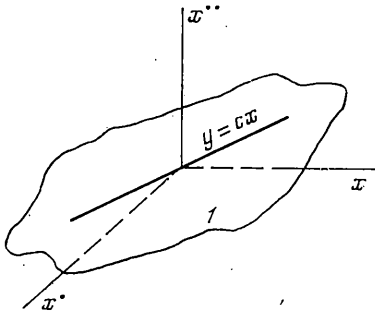
На первом этапе исследования сложных систем типа (3.2) обычно оценку виброактивности стремятся получить из простейшего эксперимента, в котором измеряют преобладающие в системе движения. Для рассматриваемых систем преобладающими являются вертикальные движения. Из простейшего эксперимента можно получить информацию вида y_i'' (ускорение корпуса агрегата) и Δ_i, Δ_i' (характеристики деформативности амортизирующих элементов)¹. При проведении подобного эксперимента обычно информации о движениях недостаточно, т. е. приходится иметь дело с системами с неполной информацией в смысле метода динамических испытаний (МДИ) [2, 3]. Поэтому получаемые в результате обработки такого эксперимента модели изучаемых систем будут иметь вид дифференциальных включений (уравнений в контингентах). Из подобного эксперимента невозможно получить полную информацию о реакциях связей системы, а также о характеристиках виброактивности неуравновешенных вращающихся роторов агрегатов.

Вместе с тем, для весьма распространенной в практике ситуации по подобному эксперименту можно дать некоторые достаточно состоятельные оценки виброактивности неуравновешенных роторов. Имеется в виду тот случай, когда основной уровень вибрации определяется вертикальными движениями и функции Q_i достаточно малы по сравнению с f_i , а, следовательно, реакции связей направлены практически

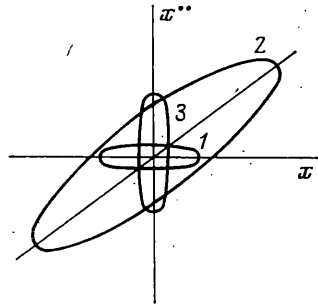
¹ Следует отметить, что зачастую из-за конструктивного выполнения того или иного агрегата или механизма в эксперименте невозможно измерить скорость вращения неуравновешенного ротора.

вертикально. При этом получающийся относительно R_i график-слой будет почти полностью определяться функциями f_i .

Отметим также, что функции f_i должны содержать достаточное число гармонических составляющих с разнесенными не кратными частотами, окружающими резонансные частоты соответствующего элемента системы. Доказательство этого утверждения не тривиально и выходит за рамки данной работы. На простейшем примере одномассовой системы покажем лишь основную идею и связанные с ней построения.



Фиг. 4



Фиг. 5

Уравнение движения системы с одной степенью свободы имеет вид

$$x'' + \delta x' + cx = F(t) \tag{3.3}$$

Предположим, что в эксперименте для системы (3.3) наблюдаются переменные x , x' , x'' , но $F(t)$ наблюдению не доступна. Для простоты рассуждения рассмотрим случай, когда

$$F(t) = \sum_{i=1}^3 f_i \sin p_i t, \quad f_1 \approx f_2 \approx f_3$$

p_1 лежит в дорезонансной области, p_2 близко к резонансной частоте, p_3 — в зарезонансной области.

Пусть параметр δ мал по сравнению с \sqrt{cs} . В этом случае реакция связи $R(x, x') \approx cx$ и допускает простую геометрическую интерпретацию (фиг. 4). Плоскость 1 на фиг. 4 определяется уравнением $y = \delta x' + cx \approx cx$.

На основе известных резонансных свойств системы (3.3) и принципа суперпозиции следует, что каждой из частот p_1, p_2, p_3 будет соответствовать своя замкнутая траектория изображающей точки в плоскости (x'', x) , причем эти траектории являются эллипсами (эллипс 1 на фиг. 5 соответствует частоте $p_1, 2-p_2, 3-p_3$).

При суперпозиции трех гармонических движений с неблизкими частотами получим область, плотно заполненную траекторией изображающей точки. При этом ось симметрии области достаточно близка к прямой $y = cx$, и функция $y = cx$ является скелетной функцией образовавшегося графика-слоя [2]. Заметим, что оценкой функции $R(x, x')$ служит функция $R^*(x, x') \approx cx$, а оценкой для $F(t)$ служит функция корректировки $r(t)$.

Если предположить, что распределение точек по ширине графика-слоя близко к нормальному, то процедуры вычисления оценки для средней функции графика-слоя упрощаются и их можно найти, используя метод наименьших квадратов. В этом случае ширина графика-слоя с вероятностью $P = 0.997$ оценивается величиной 3σ .

Нетрудно показать, что получаемые по методу наименьших квадратов оценки параметров графика-слоя дают оценки виброактивности неуравновешенного ротора.

Выше уже отмечалось, что весьма информативной оценкой виброактивности является энергетическая характеристика инерционной силы $F(t)$, которую можно представить в виде

$$\Sigma S_1 = mr \sum_{i=1}^N (\ddot{\varphi} \sin \varphi + \dot{\varphi}^2 \cos \varphi)_i \Delta t_i$$

Из уравнения движения (3.3) следует

$$\sum_{i=1}^N [x'' + R(x, x')]_i^2 \Delta t_i = \Sigma S_1$$

Так как оценка параметров δ, c линейной формы $\delta x'' + cx = R(x, x')$ осуществляется по методу наименьших квадратов из условия

$$\Sigma S_1 = \sum_{i=1}^N (x_i'' + \delta x_i' + cx_i)^2 \Delta t_i \Rightarrow \min_{\delta, c}$$

то нетрудно получить оценку (снизу) средней работы инерционной силы

$$\min_{\delta, c} \sum_{i=1}^N (x_i'' + \delta x_i' + cx_i)^2 \Delta t_i \leq mr \sum_{i=1}^N (\ddot{\varphi} \sin \varphi + \dot{\varphi}^2 \cos \varphi)_i^2 \Delta t_i$$

Оценкой для амплитудного значения инерционной силы служит ширина графика-слоя, которая с вероятностью $P=0.997$ определяется как

$$a = \frac{3}{\sqrt{N}} \left[\min_{\delta, c} \sum_{i=1}^N (x_i'' + \delta x_i' + cx_i)^2 \right]^{1/2}$$

4. Числовой пример. В качестве примера рассмотрим результаты обработки модельного эксперимента. Этот эксперимент был поставлен на АВМ, на которой наблюдалось уравнение типа (3.3). В этом уравнении от эксперимента к эксперименту изменялся вид возбуждения $F(t)$. С помощью специальной четырехканальной информационно-измерительной системы экспериментальная информация вида x'' , x' , x , $F(t)$ вводилась и запоминалась в ЭВМ. Результаты последующей обработки четырех экспериментов с помощью процедур МДИ представлены ниже (δ, c — коэффициенты демпфирования и жесткости; ε^* — средняя ошибка; $\sigma^2, \sigma, \max \varepsilon$ — показатели качества; t_* — продолжительность измерений в сек; числа в скобках соответствуют случаям, когда $F(t)$ недоступно измерению).

Эксперимент № 1: $x'' + 0.2x' + 0.5x = f_1 \sin 0.53t + f_2 \sin 0.63t + f_3 \sin 0.7t + f_4 \sin 0.84t + f_5 \sin 0.97t$

t_*	0—67	68—134	...	470—536	0—536
δ	0.1947	0.20196	...	0.1984	0.1982
	(-0.01315)	(-0.00034)	...	(-0.02945)	(-0.00326)
c	0.4873	0.48879	...	0.4881	0.4880
	(0.47188)	(0.4371)	...	(0.4454)	(0.45674)
ε^*	-0.03025	-0.0026	...	0.04788	0.0267
	(-0.5738)	(0.1513)	...	(0.21202)	(0.0239)
σ^2	0.2161	0.1829	...	0.21003	0.2039
	(26.1437)	(18.679)	...	(19.4213)	(21.722)
σ	0.46486	0.47767	...	0.4583	0.4515
	(5.1131)	(4.3222)	...	(4.407)	(4.6607)
$\max \varepsilon$	1.45947	1.79281	...	1.6177	1.6033
	(16.063)	(11.9046)	...	(10.929)	(16.065)

Эксперимент № 2: $x'' + 0.2x' + 1.0x = f_1 \sin 0.53t + f_2 \sin 0.63t + f_3 \sin 0.7t + f_4 \sin 0.84t + f_5 \sin 0.97t$

t_*	0—67	68—134	...	470—536	0—536
δ	0.19844	0.19737	...	0.20004	0.20013
	(0.00462)	(0.00085)	...	(-0.00581)	(-0.00353)
c	0.98616	0.9857	...	0.99638	0.99913
	(0.79774)	(0.75994)	...	(0.7795)	(0.78183)
ε^*	-0.0352	-0.02439	...	-0.1406	0.13288
	(-0.8822)	(0.20737)	...	(0.12503)	(0.04657)
σ^2	0.3101	0.2672	...	0.3163	0.31474
	(46.134)	(45.61413)	...	(37.1345)	(40.799)
σ	0.55687	0.5159	...	0.5624	0.56101
	(6.7922)	(6.75382)	...	(6.0938)	(6.3874)
max ε	1.92316	1.7172	...	1.9304	1.9177
	(24.2783)	(15.6415)	...	(16.389)	(23.533)

Эксперимент № 3: $x'' + 0.2x' + 1.0x = f \sin 0.97t$

t_*	0—67	68—134	...	604—670	0—670
δ	0.19929	0.19919	...	0.19923	0.19929
	(-0.01845)	(-0.00033)	...	(0.00021)	(-0.00172)
c	0.99689	0.99644	...	0.99655	0.99648
	(0.9378)	(0.93488)	...	(0.93618)	(0.93591)
ε^*	-0.0801	-0.07415	...	-0.07741	-0.008
	(-0.2207)	(-0.02064)	...	(-0.01719)	(-0.00137)
σ^2	0.2417	0.24448	...	0.23876	0.23814
	(8.99820)	(0.16375)	...	(0.17021)	(1.1256)
σ	0.4916	0.49445	...	0.48863	0.488
	(2.997)	(0.40466)	...	(0.41256)	(1.06096)
max ε	1.58335	1.7861	...	1.56856	1.99265
	(13.60363)	(1.08729)	...	(1.0570)	(13.72989)

Эксперимент № 4: $x'' + 0.2x' + 1.0x = f_1 \sin 0.1t + f_2 \sin 0.97t + f_3 \sin 5t$

t_*	202—268	269—335	336—402	403—469
δ	(-0.00188)	(0.00156)	(0.00032)	(-0.004)
c	(0.93412)	(0.93323)	(0.93616)	(0.9345)
ε^*	(-0.22835)	(-0.1777)	(-0.18175)	(-0.0697)
σ^2	(9.94754)	(9.51693)	(9.1092)	(8.3552)
σ	(3.154)	(3.08495)	(3.0181)	(2.8905)
max ε	(6.9633)	(7.01257)	(6.68)	(6.71965)

Как следует из приведенных результатов, получаются весьма надежные оценки жесткостных параметров системы, в то время как параметр демпфирования весьма чувствителен к неполноте экспериментальной информации. Приведенные характеристики качества полученных по МДИ оценок параметров ε^* , σ^2 , σ , max ε дают соответствующее представление (оценки) о виброактивности исследуемой системы.

Поступила 22 IX 1975

ЛИТЕРАТУРА

1. Глухарев К. К., Розенберг Д. Е. Метод динамических испытаний для синтеза уравнений движения механических систем с известными числами степеней свободы. Машиноведение, 1973, № 6.
2. Глухарев К. К., Розенберг Д. Е. Метод динамических испытаний для восстановления уравнений движения механических систем с неизвестным числом степеней свободы. Машиноведение, 1974, № 3.
3. Глухарев К. К., Розенберг Д. Е., Фролов К. В. Обратная задача динамики в связи с идентификацией систем. Метод динамических испытаний. Тр. VII Междунар. конф. по нелинейным колебаниям. Берлин, АН ГДР, 1976.
4. Кононенко В. О. Колебательные системы с ограниченным возбуждением. М., «Наука», 1964.
5. Генкин М. Д., Яблонский В. В. Поток энергии колебаний как критерий виброактивности механизмов. Машиноведение, 1965, № 5.
6. Глухарев К. К., Розенберг Д. Е. Применение метода динамических испытаний к вычислению параметров связей упругоподвешенного твердого тела В сб.: Динамика и прочность упругих и гидроупругих систем. М., «Наука», 1975.